

ТЕМПЕРАТУРНАЯ ЗАВИСИМОСТЬ КРИТИЧЕСКОГО ТОКА В ОБЛАСТИ T_c СВЕРХПРОВОДНИКОВ, СОДЕРЖАЩИХ ДВОЙНИКИ

В.С.Бобров, М.А.Лебедкин

Изменение температурной зависимости критического тока вблизи T_c при деформационном двойникении монокристаллов ниobia свидетельствует о возникновении в области двойников тонких сверхпроводящих каналов. Обсуждаются также данные, свидетельствующие об аналогичной особенности зависимости $I_c(T)$ в высокотемпературных сверхпроводниках.

В^{1–3} сообщалось об увеличении T_c в бикристаллах сверхпроводников с ориентацией границ, близкой к двойниковой. Более заметное повышение T_c и H_c наблюдается при деформационном двойникении^{4–6}. Для понимания природы сверхпроводящего состояния в области двойников разного происхождения важное значение имеет вопрос о степени локализации этого состояния. Эта проблема обсуждается в ряде работ (см., напр., обзор⁷). Одним из путей получения такой информации могут служить данные по температурной зависимости критического тока I_c в области T_c ^{8, 9}. Ниже сообщаются результаты таких исследований в условиях низкотемпературной деформации ниobia. Приводятся также данные по зависимости $I_c(T)$ в образцах Y–Ba–Cu–O-керамики.

Монокристаллические образцы ниobia ($2 \times 3 \times 30$ мм³) с ориентацией больших осей, близкой к $\langle 100 \rangle$ и $\langle 110 \rangle$, деформировались четырехточечным изгибом при $T \lesssim 8$ К. В этих условиях скачки нагрузки, связанные с двойникением, наблюдались на фоне дислокационного скольжения и вклад двойникования у всех исследованных образцов не превышал 50 % от общей деформации ϵ . При каждом скачке нагрузки в кристаллах возникала группа пересекающихся двойниковых прослоек толщиной $\sim 0,1 \div 10$ мкм, расстояние между прослойками ~ 100 мкм⁴.

Сверхпроводящие переходы в области T_c регистрировались по изменению сопротивления R с помощью четырехконтактной методики и, аналогично⁵, по возникновению сигнала U на измерительной катушке при проникновении в образцы слабого (~ 1 Э) переменного (37 Гц) магнитного поля. Критический ток определялся при уровне падения напряжения 0,1 мкВ и скорости развертки тока 0,025 А/с. Измерения проводились в условиях медленного ($\sim 10^{-2}$ К/с) отогрева образцов до $T \lesssim 15$ К непосредственно после деформации. Осуществлялись также опыты с промежуточным отогревом деформированных образцов до 300 К⁵.

На рис. 1 приведены примеры зависимостей $R(T)$ и $U(T)$ для одного из образцов $\langle 100 \rangle$, деформированного до разного уровня ϵ . Дефекты, возникающие при низкотемпературном дислокационном скольжении, слабо влияют на эти зависимости. Заметное повышение T_c наблюдается только после начала двойникования. Форма регистрируемых кривых зависит от характера заполнения образцов двойниковыми прослойками, их ориентации и отражает истощение сверхпроводящей фазы при повышении T . При одинаковых ϵ кривые $R(T)$ обычно смешены в область более высоких температур по сравнению с $U(T)$, и, когда деформированные образцы становятся практически "прозрачными" для переменного магнитного поля, в них сохраняются шунтирующие сверхпроводящие каналы.

Ниже температуры $T_{c1}(\epsilon)$, соответствующей по данным $R(T)$ началу переходов кристаллов с двойниками в нормальное состояние, в них существуют сплошные сверхпроводящие каналы, и в диапазоне $T_{c1}(\epsilon = 0) < T < T_{c1}(\epsilon)$ наблюдается связанный с ними критический ток. На рис. 2 представлены результаты измерений $I_c(T)$ двух образцов разной ориентации в исходном состоянии и после деформации до значений $\epsilon \approx 3$ и 4 % ($\epsilon_{\text{дв}} \approx 0,3$ и 2 %) для ориентаций $\langle 100 \rangle$ и $\langle 110 \rangle$, соответственно. В отличие от двойникования, дислокационно-

скольжение слабо влияет на зависимость $I_c(T)$. Более того, развитое дислокационное скольжение при изгибе ослабляет эффект повышения T_c при двойниковании по сравнению с опытами в условиях сжатия, а отогрев деформированных образцов до 300 К сопровождается "отжигом" этого эффекта и соответствующими участками зависимостей $I_c(T)$ (см. рис. 1 и 2) ⁵.

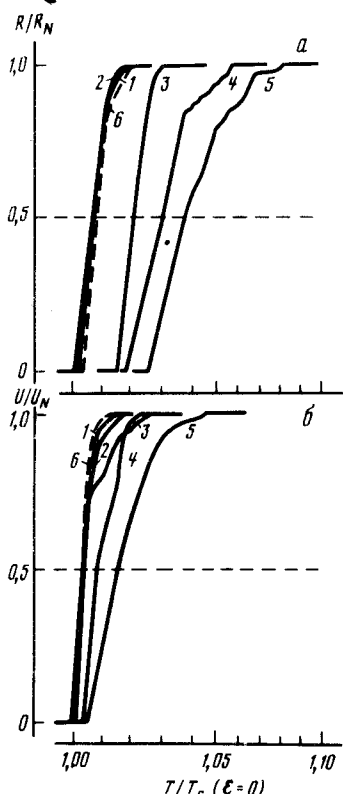


Рис. 1

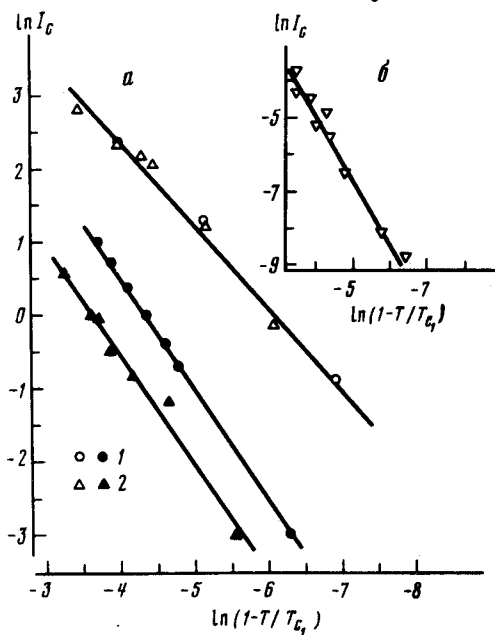


Рис. 3. Температурные зависимости I_c вблизи T_c в логарифмическом масштабе для двух образцов ниобия (а) (1 – $\langle 100 \rangle$, 2 – $\langle 110 \rangle$, светлые – исходные образцы, темные – низкотемпературное двойникование) и образца Y–Ba–Cu–O–керамики (б)

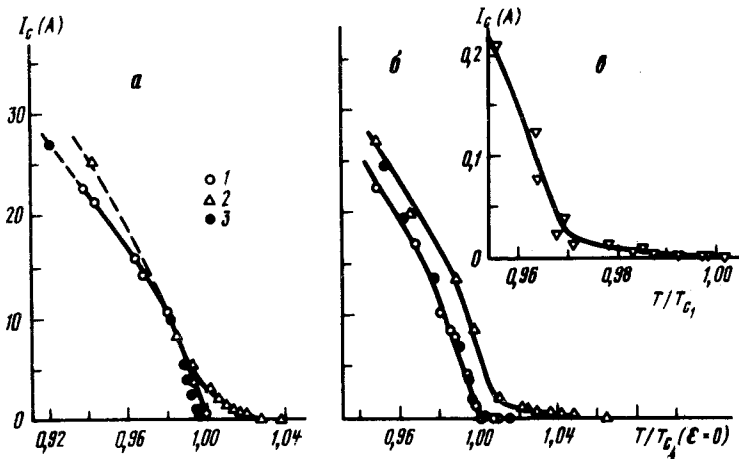


Рис. 2

Рис. 1. Температурные зависимости сопротивления R (а) и сигнала при проникновении переменного магнитного поля U (б), регистрируемые в условиях отогрева одного из образцов ниобия с ориентацией типа $\langle 100 \rangle$: 1 – исходный образец, 2 – дислокационное скольжение до начала двойникования ($\epsilon \approx 1,1\%$), 3, 4 и 5 – после 5, 12 и 20-го скачков нагрузки при двойниковании (ϵ в диапазоне $1,8 \div 3\%$), 6 – после отогрева деформированного образца до 300 К

Рис. 2. Температурные зависимости критического тока I_c для двух образцов ниобия (а и б) с ориентациями типа $\langle 100 \rangle$ и $\langle 110 \rangle$ (1 – исходные образцы, 2 – деформационное двойникование, 3 – деформированные образцы после отогрева до 300 К) и одного из образцов Y–Ba–Cu–O–керамики (в)

Это свидетельствует о роли структурных факторов в формировании сверхпроводящих каналов в области двойников.

При $T \geq T_{c1}(\epsilon)$ разрушается сверхпроводимость в наиболее слабых звеньях системы сверхпроводящих каналов, связанных с двойниками. Можно полагать, что вблизи $T_{c1}(\epsilon)$ именно эти участки определяют характер зависимости $I_c(T)$. Поэтому при обработке данных рис. 2 в логарифмическом масштабе, результаты которой приведены на рис. 3, осуществлялось нормирование T на соответствующие значения $T_{c1}(\epsilon = 0)$ и $T_{c1}(\epsilon)$. Подобие зависимостей (см. рис. 3) для разных образцов, содержащих двойники, подтверждает выбор такой нормировки. При оценках T_{c1} проверялось влияние величины измерительного тока. Кривые $R(T)$ на рис. 1 измерялись при токах через образцы $I = 50$ мА. Уменьшение I в случае деформированных образцов приводило к небольшому смещению кривых в сторону более высоких T . Поэтому измерение T_{c1} осуществлялось при $I \leq 10$ мА, что обеспечивало точность оценки $\sim 10^{-2}$ К. Полученные значения T_{c1} в пределах этой погрешности совпадали с температурой, ниже которой при измерениях $I_c(T)$ регистрировался ненулевой критический ток.

Из данных рис. 3 видно, что зависимости $I_c(T)$ вблизи T_c имеют вид:

$$I_c = I_{c0} (1 - T/T_c)^m. \quad (1)$$

Для исходных образцов $m = 1,11^{+0,04}_{-0,12}$, а после двойникования этот показатель выше $T_{c1}(\epsilon = 0)$ принимает значения: $m = 1,51^{+0,05}_{-0,06}$ и $1,48^{+0,08}_{-0,07}$ для образцов $\langle 100 \rangle$ и $\langle 110 \rangle$, соответственно. Погрешность в оценках связана со среднеквадратичными отклонениями данных и точностью определения T_{c1} . У исходных образцов зависимость (1) удовлетворяет правилу Силлсиба⁹: $I_c \sim H_{c1}(T) \sim (1 - T/T_c)$, что подтверждается и результатами количественных оценок H_{c1} из приведенных данных с учетом геометрических факторов. После двойникования характер этой зависимости ($m = 3/2$) свидетельствует об образовании в кристаллах тонких сверхпроводящих каналов (пленки—проволоки) с характерными размерами $d < \lambda(T)^{8, 9, 10}$. Глубина проникновения λ в исследованном диапазоне температур $\sim 10^{-5}$ см ("чистый" предел). Если сверхпроводящие каналы являются достаточно узкими или эффекты пиннинга и самоэкранирования подавляют влияние вихревых состояний, возникающих на краях сверхпроводящих слоев^{9, 10}, то плотность критического тока в этих каналах может достигать значений, соответствующих току распаривания^{8, 9}:

$j_p = \alpha H_c(T) / \lambda(T)$ (H_c — термодинамическое критическое поле, численный коэффициент $\alpha \sim 1$ (СИ)). Используя эти представления, можно получить оценку снизу для размеров токонесущих каналов: $d \gtrsim I_c / j_p NL$. Оценив количество двойниковых границ в сечениях образцов ($N \approx 15 \div 20$) и приняв с учетом неоднородности свойств для суммарной ширины каналов, связанных с отдельным двойником, оценку $L \sim 0,1$ см, получим: $d \gtrsim 10^{-7} \div 10^{-6}$ см.

В связи с представленными данными и их анализом необходимо обратить внимание, что сверхпроводящие области, связанные с двойниками, находятся в окружении металла с более низкими значениями T_c , который может оказывать влияние на эти области в меру эффекта близости^{8, 9}, привести к подавлению сверхпроводимости и изменению характера зависимости $I_c(T)$. Анализ уравнений Гинзбурга — Ландау показывает, что влияние эффекта близости будет слабым, если: $d \gg \xi(0)$ (ξ — длина когерентности). Эффект близости будет также подавлен, если подсистема электронов в области двойников отделена от электронов окружающего металла энергетическим барьером (см., напр.,¹¹).

1)

Аналогичная зависимость обсуждается в⁷, исходя из представления о сверхпроводимости, наведенной вблизи плоскости двойникования.

В заключение отметим, что в последнее время острый интерес исследователей привлекают высокотемпературные сверхпроводники (ВТСП). Эти объекты содержат большое количество полисинтетических дубликатов^{12, 13}. Существуют работы, в которых дубликаты рассматриваются в качестве фактора, приводящего к высокотемпературной сверхпроводимости (см., напр.,¹⁴). Трудно ожидать, что они играют здесь решающую роль. Например, в¹⁵ делается вывод об объемном характере сверхпроводимости в Y–Ba–Cu–O-монокристаллах. Вместе с тем, результаты этой работы свидетельствуют, что сверхпроводимость по данным резистивных измерений наступает при более высоких T , чем это следует из данных по эффекту Мейснера. Как и в обычных сверхпроводниках, не исключена возможность участия дубликатов в формировании свойств ВТСП в некотором диапазоне T в области T_c . На рис. 2в и 3б приведены результаты контрольных измерений зависимости $I_c(T)$ для одного из образцов керамики Y–Ba–Cu–O ($T_c \approx 95$ К). Обращает внимание качественное подобие этих данных ($m = 1,71^{+0,05}_{-0,11}$) и результатов для ниобия. Керамика — сложный объект. Определенную роль в формировании ее свойств могут играть межфазные и межзеренные границы. Поэтому в настоящее время результаты уточняются с использованием монокристаллов ВТСП.

Авторы благодарят Ю.А.Осипьяна, А.И.Ларкина и И.Ф.Щеголева за внимание к работе, А.И.Буздина, А.А.Голубова, В.Л.Инденибома, Н.Б.Копнина, В.В.Рязанова, Н.А.Тулину и И.Н.Хлюстикова за обсуждение ее аспектов, Р.К.Николаева и Н.С.Сидорова за образцы керамики, С.С.Шевага за помощь.

Литература

1. Хайкин М.С., Хлюстиков И.Н. Письма в ЖЭТФ, 1981, 33, 182; 34, 207.
2. Хлюстиков И.Н., Хайкин М.С. Письма в ЖЭТФ, 1982, 36, 132.
3. Хлюстиков И.Н., Москвин С.Н. ЖЭТФ, 1985, 89, 1846.
4. Баранова Г.К., Бобров В.С. и др. ЖЭТФ, 1979, 77, 257.
5. Бобров В.С., Зорин С.Н. Письма в ЖЭТФ, 1984, 40, 345.
6. Аксенов В.К., Гиндин И.А. и др. ФНТ, 1985, 11, 93.
7. Khlyustikov I.N., Buzdin A.I. Advances in Physics, 1987, 36, 271.
8. Де Жен П. Сверхпроводимость металлов и сплавов. М.: Мир, 1986,
9. Абрикосов А.А. Основы теории металлов. М.: Наука, 1987.
10. Иванченко Ю.М., Хирный В.Ф., Михеенко П.Н. ЖЭТФ, 1979, 77, 952.
11. Бурмистров С.Н., Дубовский Л.Б. Письма в ЖЭТФ, 1987, 45, 428.
12. Осипьян Ю.А., Афоникова Н.С. и др. Письма в ЖЭТФ, 1987, 46, 189.
13. Zandbergen et al. Phys. Stat. Sol. (a), 1987, 103, 45.
14. Инденбом В.Л. Письма в ЖЭТФ, 1987, 46 (приложение), 144.
15. Емельченко Г.А., Карцовник М.В. и др. Письма в ЖЭТФ, 1987, 46, 162.